

УДК 543.737

**ЭЛЕКТРИЧЕСКИЕ И МАГНИТНЫЕ СВОЙСТВА  
ТРОЙНЫХ ИНТЕРМЕТАЛЛИДОВ  
U—M—Si (M=Ru, Co, Fe, Mo, Re)**

*Ф. Г. Алиев, Л. Г. Аксельруд, В. В. Козырьков, В. В. Моцалков*

Исследованы электрические и магнитные свойства тройных силицидов на основе урана. В соединениях  $U_2Ru_3Si_5$  и  $U_3Co_2Si$ , обнаружен переход в магнитоупорядоченное состояние. Показано, что  $U_6Co_{30}Si_{19}$  и  $U_3Fe_2Si$ , являются системами с тяжелыми фермионами.

Системы с тяжелыми фермионами (СТФ) представляют собой новый класс веществ, в которых за счет обменных взаимодействий между валентными электронами и магнитными ионами, расположены в каждой элементарной ячейке, плотность электронных состояний вблизи энергии Ферми  $\epsilon_F$  оказывается усиленной в сотни раз по сравнению с нормальными металлами [1]. Электронная часть теплоемкости СТФ  $\gamma$  составляет величину порядка  $10^3$  мДж/моль К<sup>2</sup>, причем большинство соединений, таких как CeAl<sub>3</sub>, CeCu<sub>6</sub>, не переходит в магнитоупорядоченное состояние вплоть до  $T \approx 10$  мК [1]. Напротив, ряд СТФ (например CeCu<sub>2</sub>Si<sub>2</sub>, UPt<sub>3</sub>, UBe<sub>13</sub>) испытывают переход в сверхпроводящее состояние, в котором за сверхпроводимость ответственны те же тяжелые носители, которые обуславливают большие значения  $\gamma$ . Гигантские значения  $\gamma$  в Кондорешетках (CeCu<sub>6</sub>, CeCu<sub>2</sub>Si<sub>2</sub>, CeAl<sub>3</sub>) обусловлены попаданием на  $\epsilon_F$  многочастичного резонанса Абрикосова—Сула [1].

Одним из путей, позволяющих глубже понять природу аномальных свойств СТФ, является синтез и поиск новых систем с тяжелыми фермионами. Большинство известных в настоящее время СТФ являются бинарными соединениями Ce и U. Это объясняется двумя обстоятельствами. Во-первых, двойные системы, как правило, легче получить в химически чистом виде. Во-вторых, атомы церия и урана являются первыми в ряду лантаноидов и актинидов устойчивыми магнитными ионами, переходящими в немагнитное состояние при переходе 4f- или 5f-электрона в зону проводимости. В соединениях Eu и Yb (например, EuCu<sub>2</sub>Si<sub>2</sub>, YbCu<sub>2</sub>Si<sub>2</sub> и др.), также имеющих магнитную и немагнитную конфигурацию редкоземельного атома, радиус 4f-оболочки существенно меньше, чем у Ce и U, и кристаллическое поле слабее влияет на них, и в EuCu<sub>2</sub>Si<sub>2</sub>, YbCu<sub>2</sub>Si<sub>2</sub> реализуется сильно вырожденное основное состояние с малым  $\gamma$ .

Таким образом, наиболее перспективными объектами для поиска новых систем с тяжелыми фермионами могут являться соединения Ce и U. В настоящей работе проведены первые исследования электрических и магнитных свойств ряда тройных соединений урана. Выбор объектов был обусловлен, во-первых, отсутствием переходов в магнитоупорядоченное состояние по меньшей мере до азотных температур и, во-вторых, наличием кристаллической решетки не очень высокой симметрии.

Измерение электрических и магнитных свойств образцов проводилось на комплексе автоматизированных установок, объединенных в локальную вычислительную сеть.

Работа установки по измерению гальваномагнитных свойств подробно описана в [2]. Измерение магнитной восприимчивости проводилось при помощи вибромагнитометра PARC с криостатом, позволяющим варьировать температуру в диапазоне ( $4.2 < T < 300$ ) К. Ввод информации в ЭВМ Электроника ДЗ-28 осуществляется с вольтметров типа Ф-30 (измерение температуры с помощью термопары) и Р-386 (сигнал магнитной восприимчивости) при помощи интерфейса, собранного на микросхемах К155КП1. В процессе эксперимента полученная установками информация запоминается и затем по специальной программе через оптическую развязку и линию типа «токовая петля» передается на расстояние до 20 метров в лабораторную ЭВМ типа ЕС 1840, в которой реализуется графическая обработка информации и ее накопление в банке данных о кристаллической структуре.

Основные данные исследованных образцов приведены в [3-5].

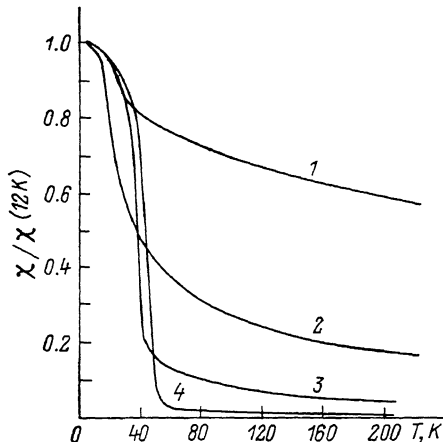


Рис. 1. Нормированные к  $\chi$  ( $T=12$  К) температурные зависимости магнитной восприимчивости.

1 —  $U_2Mo_3Si_4$ , 2 —  $U_2Fe_3Si_5$ , 3 —  $U_3Co_2Si_7$ , 4 —  $U_2Ru_3Si_5$ .

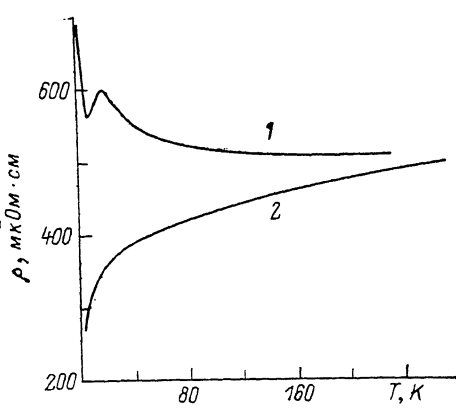


Рис. 2. Температурные зависимости удельного сопротивления для  $U_2Ru_3Si_5$  (1) и  $U_3Co_2Si_7$  (2).

Нормированные к  $\chi$  ( $T=12$  К) зависимости магнитной восприимчивости представлены на рис. 1. Анализ магнитных свойств исследуемых соединений позволяет разбить их на три группы: 1) паулевские парамагнетики, 2) магнитоупорядоченные системы, 3) соединения, в которых наблюдается переход от магнитного к немагнитному состоянию при понижении температуры.

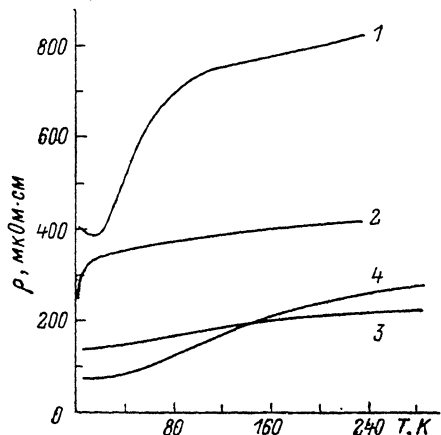
К соединениям типа 1 относятся  $U_2Fe_3Si_5$  и  $U_4Re_7Si_6$ , в которых наблюдается температурно-независимый ход магнитной восприимчивости с  $\chi_p = 0.77 \cdot 10^{-2}$  СГСМ/моль и  $0.57 \cdot 10^{-1}$  СГСМ/моль соответственно.

Температурная зависимость магнитной восприимчивости систем  $U_2Ru_3Si_5$  и  $U_3Co_2Si_7$  в диапазоне ( $150 < T < 250$ ) К характеризуется кюри-вейсовским ходом  $\chi(T) \sim 1/(T-\Theta)$  с  $\mu_{\text{эфф}}=1.2$  и  $1.7 \mu_B$  и  $\Theta=-51.5$  и  $-94.5$  К соответственно. Вблизи  $T \approx 40-50$  К значения  $\chi(T)$  этих соединений резко (примерно на порядок) возрастают и насыщаются при  $T < 30$  К. Такой характер поведения магнитной восприимчивости указывает на то, что  $U_2Ru_3Si_5$  и  $U_3Co_2Si_7$  испытывают переход в магнитоупорядоченное состояние ферромагнитного типа (ФМ).

У системы  $U_2Mo_3Si_4$  при ( $100 < T < 250$ ) К наблюдается слабая температурная зависимость  $\chi(T)$  с  $\mu_{\text{эфф}}=0.42 \mu_B$  и небольшой скачок  $\chi$  в сторону увеличения вблизи  $T \approx 40$  К, который, возможно, связан с наличием в образце примесных фаз (отметим, что на температурной зависимости  $\rho(T)$  у  $U_2Mo_3Si_4$  отсутствуют косвенные указания на переход в магнитоупорядоченное состояние с  $T_m \approx 40$  К).

К системам, которые характеризуются наличием магнитных атомов в решетке при высоких температурах и не переходят в магнитоупорядоченное состояние вплоть до  $T=4.2$  К, относятся соединения  $U_6Co_{30}Si_{19}$  и  $U_3Fe_2Si_7$  (рис. 1 и 4). Эффективный магнитный момент на один атом  $\mu_{\text{эфф}}$ , определенный из хода  $\chi(T)$  в диапазоне  $(150 < T < 250)$  К, составляет 2.6 и 1.6  $\mu_B$  соответственно.

При расчете эффективного магнитного момента  $\mu_{\text{эфф}}$  в настоящей работе предполагалось, что носителями магнитного момента являются



атомы урана. Эта гипотеза должна быть проверена посредством измерения зависимостей  $\chi(T)$  у изоструктурных соединений La—M—Si, в которых атомы U замещены немагнитным La. Интересно, что значения  $\mu_{\text{эфф}}$  большинства соединений оказались меньше, чем  $\mu_{\text{эфф}}$  для атома урана в состояниях  $5f^1$ — $5f^4$ . Это может быть связано с сильным влия-

Рис. 3. Зависимости удельного сопротивления от температуры для  $U_2Fe_3Si_5$  (1),  $U_3Fe_2Si_7$ , (2),  $U_4Re_7Si_6$  (3),  $U_2Mo_3Si_4$  (4).

нием на  $\mu_{\text{эфф}}$  кристаллического поля, расщепляющего  $5f$ -уровень на энергию  $\Delta > 150$  К.

Транспортные свойства исследуемых систем представлены на рис. 2—4. На температурной зависимости  $\rho(T)$  соединения  $U_2Ru_3Si_5$  наблюдается отчетливый максимум с  $T_{\max} \approx 30$  К, отражающий переход в ФМ фазу ниже  $T=40$  К (рис. 1). На температурной зависимости  $\rho(T)$  для  $U_3Co_2Si_7$  наблюдается монотонное уменьшение  $\rho(T)$  во всем диапазоне  $(1.8 < T < 300)$  К (рис. 2), а в точке ферромагнитного перехода происходит лишь плавное изменение наклона производной  $\rho(T)$ .

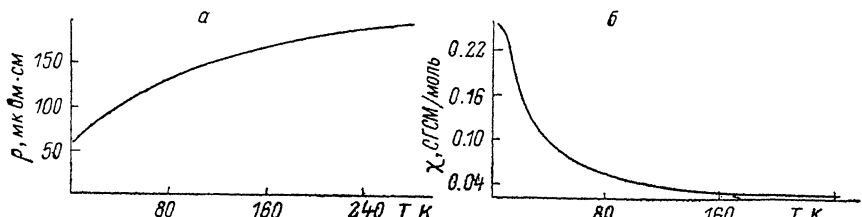


Рис. 4. Температурные зависимости удельного сопротивления (а) и магнитной восприимчивости (б) образцов  $U_6Co_{30}Si_{19}$ .

Зависимости  $\rho(T)$  систем, не испытывающих объемного перехода в магнитоупорядоченную фазу, приведены на рис. 3, 4. Прежде всего отметим, что все эти соединения характеризуются металлическим ходом кривых  $\rho(T)$ , причем для паулевских парамагнетиков  $U_4Re_7Si_6$  и  $U_2Fe_3Si_7$  испытывает насыщение при  $T < 10$  К.

Крайне необычный тип зависимости  $\rho(T)$  для систем, не испытывающих магнитного перехода, показывают  $U_6Co_{30}Si_{19}$  и  $U_3Fe_2Si_7$  (рис. 3, 4): во всем диапазоне  $T < 4$  К  $\rho(T)$  имеет отрицательную кривизну  $d\rho/dT$ , характерную для тяжелофермионных систем со спиновыми флуктуациями, как, например, у  $UPt_3$  [1].

Известно, что системы с тяжелыми фермионами характеризуются аномально высокими значениями коэффициента Холла  $R_H$ . Исходя из этого в настоящей работе для соединения  $U_6Co_{30}Si_{19}$  в диапазоне температур  $(2 < T < 80)$  К в магнитных полях до 40 кЭ была измерена температур-

ная зависимость  $R_H$  ( $T$ ). Абсолютные значения коэффициента Холла  $R_H$  у  $\text{U}_6\text{Co}_{30}\text{Si}_{19}$  составляют величину порядка  $(4-6) \cdot 10^{-3} \text{ см}^3/\text{Кл}$ , близкую к максимальным наблюдаемым значениям  $R_H$  для СТФ  $\text{CeCu}_2\text{Si}_2$ .

Соединения  $\text{U}_6\text{Co}_{30}\text{Si}_{19}$  и  $\text{U}_3\text{Fe}_2\text{Si}_7$  следует, по-видимому, рассматривать как новые системы с тяжелыми фермионами. Об этом свидетельствуют типичные для СТФ зависимости  $\rho$  ( $T$ ) и  $\chi$  ( $T$ ). Отметим, что значения усиленной паулевской восприимчивости  $\chi_p$  ( $T \rightarrow 0$ ) составляют в  $\text{U}_3\text{Fe}_2\text{Si}_7$  и  $\text{U}_6\text{Co}_{30}\text{Si}_{19}$  соответственно  $0.38 \cdot 10^{-1}$  и  $0.25 \text{ СГСМ}/\text{моль}$ . Огромная величина  $\chi_p$  свидетельствует о наличии у этих систем больших значений  $\gamma$ , так как  $\gamma \sim \chi_p$ . Количественно значения  $\gamma$  можно оценить из ферми-жидкостного хода  $\rho = \rho_0 + AT^2$ , так как  $A = -10^{-5} \text{ мк}\cdot\text{Ом}\cdot\text{см}\cdot\text{K}^2 \cdot \text{моль}^2 / (\text{мДж})^2$ . Такая оценка дает значение  $\gamma \approx 400 \text{ мДж}\cdot\text{моль}\cdot\text{K}^2$  для  $\text{U}_6\text{Co}_{30}\text{Si}_{19}$ .

Температуру спиновых флуктуаций  $T_{sf}$  системы  $\text{U}_6\text{Co}_{30}\text{Si}_{19}$  можно оценить из значения  $\Theta$  в законе Кюри—Вейса:  $T_{sf} \approx \Theta/4 \approx 20 \text{ К}$ . Поскольку  $\gamma \sim 1/T_{sf}$ , то отсюда можно получить другую оценку  $\gamma$  для  $\text{U}_6\text{Co}_{30}\text{Si}_{19}$ :  $\gamma = 500 \text{ мДж}\cdot\text{моль}\cdot\text{K}^2$ .

#### Л и т е р а т у р а

- [1] Brandt N. B., Moshchalkov V. V. Adv. Phys., 1984, vol. 33, N 2, p. 373—468.
- [2] Алиев Ф. Г., Брандт Н. Б., Мощалков В. В., Залляютдинов М. К., Ковачик В., Чудинов С. М., Ясницкий Р. И. ЖЭТФ, 1987, т. 92, N 3, с. 902—912.
- [3] Аксельруд Л. Г., Ярмолюк Я. П., Гладышевский Е. И. ДАН УССР, серия А, 1978, N 4, с. 360—363.
- [4] Аксельруд Л. Г., Ярмолюк Я. П., Рождественская И. В., Гладышевский Е. И. Кристаллография, 1981, т. 26, N 1, с. 186—188.
- [5] Ярмолюк Я. П., Аксельруд Л. Г., Фундаменский В. С., Гладышевский Е. И. Кристаллография, 1980, т. 25, N 1, с. 169—171.

Московский государственный  
университет им. М. В. Ломоносова  
Москва

Поступило в Редакцию  
25 сентября 1987 г.